

## **Effect of Micro and Nano Zirconia ( $\text{ZrO}_2$ ) Addition on the Thermal Conductivity of Iraqi Kaolin Composite.**

**تأثير اضافة الزركونيا ( $\text{ZrO}_2$ ) المايكروية والنانوية على التوصيلية الحرارية لمترابك الكاولين العراقي.**

الاستاذ المساعد الدكتور محمد هادي شنين  
جامعة بابل – كلية التربية الاساسية  
قسم العلوم

الاستاذ المساعد الدكتور انوار حسين علي  
الجامعة المستنصرية – كلية العلوم  
قسم الفيزياء

المدرس نجاح كاظم عليان  
جامعة الفرات الاوسط التقنية  
المعهد التقني / كربلاء

E-mail: [najah.almasoudie@yahoo.com](mailto:najah.almasoudie@yahoo.com)

### **الخلاصة :**

تكمّن أهمية البحث في استخدام مادة الكاولين العراقي كجزء اساسي في هذه الدراسة بعد اضافة مخلفات قصب السكر بنسبة (2%) و(10%) من بولي فاينيل الكحول (PVA) كمادة رابطة . اضيفت نسب مختلفة من الزركونيا ( المايكروية او النانوية ) الى المترابك ( 0% ، 5% ، 10% ، 15% ، 20% ) لغرض تحسين خواصه الحرارية .

شكلت العينات بطريقة الكبس شبه الجاف بقوة كبس ( 25 MPa ) باستخدام قالب قطره ( 40 mm ) وبفترة زمنية مقدارها ( 2 min ). ثم اجراء عملية التلبيد للمكبوسات ، حيث تمت عملية الحرق بثلاث درجات حرارة ( 1000 ، 1100 ، 1200 ) درجة حرارة / دقيقة و بقيت عند كل درجة حرارة لمدة ساعتين .

لقد ظهرت النتائج ان زيادة نسبة الزركونيا المضافة سواء كانت مايكروية او نانوية تؤدي الى انخفاض قيم التوصيلية الحرارية و حصلنا على افضل النتائج بإضافة الزركونيا النانوية ، بينما تؤدي زيادة درجة الحرق الى زيادة قيم التوصيلية الحرارية .

**الكلمات الدالة :** الكاولين ، المترابك ، مخلفات قصب السكر ، زركونيا مايكرويه ، زركونيا نانوية ، بولي فاينيل الكحول والتوصيلية الحرارية .

### **Abstract :**

Iraqi kaolin is used as a principle part of the study after additives sugarcane straw in ratio (10%) and (2%) from Poly Vinyl Alcohol ( PVA ) as a binding material. (Micro or Nano) Zirconia added to the composite in different ratio ( 0% , 5 % , 10% , 15% , 20% ) for the purpose of improving the thermal properties. Samples are reformed in a semi-dry pressing with pressure about (25 MPa).

The formulation is achieved by using a template of (40 mm) diameter and a period about (2 min). Then sintering for the prepared samples where done.

Burning process by three temperature degrees ( 1000, 1100, 1200 ) C° at average raise about 3 temperature degree / 1 minute and remained at every temperature degree for two hours.

The results showed that the increase in the proportion of ( Micro or Nano ) Zirconia lead in a reduction the value of thermal conductivity and received the best results by adding Nano Zirconia, while it lead increasing the temperature degree of the burning to increasing the value of the thermal conductivity.

**Keywords :** Kaolin, Composite, Sugarcane Straw, Micro Zirconia, Nano Zirconia, Poly Vinyl Alcohol and Thermal Conductivity.

## **1. المقدمة : Introduction**

ان المواد السيراميكية تمتاز بكثير من الخواص التي تميزها عن غيرها من المواد الأخرى كمقاومة الحرارة العالية والعزل الكهربائي ومقاومة التأكسد وغيرها ، الا انها تفتقر وبشكل واضح إلى المتانة وقابلية تحمل الصدمات وهذا ما يحدد استخدامها في الكثير من التطبيقات [1].

يمكن تعريف المواد السيراميكية على انها مركبات لا عضوية وغير معدنية تتم معالجتها بالحرارة العالية ، لها بنية بلورية معقدة تربطها اواصر ايونية او تساهمية او مشتركة بينهما ، تعتبر الاكاسيد ، الكاربيدات ، التتریدات ، السيليكات والبوريدات من أشهر مركباتها [2].

تقسم المواد السيراميكية في الوقت الحاضر إلى اقسام عديدة بالاستناد إلى متغيرات مختلفة ، لكن أكثر مما هو متفق عليه هو تقسيم السيراميك [3] :

اولاً : السيراميك التقليدي Traditional Ceramic  
ثانياً : السيراميك المتقدم Advanced Ceramic

السيراميك التقليدي عادة يتضمن التقنيات القديمة في صناعة السيراميك وهو عبارة عن مركبات طينية طبيعية ومن انواعه الطابوق ، الخزف ، الكونكريت والمنتجات البيضاء . اما السيراميك المتقدم او ما يطلق عليه احياناً السيراميك الدقيق فيشمل كافة المنتجات السيراميكية التي استخدمت في تصنيعها مواد اوكيسيده عاليه النقاوة ب Techniques حديثة تؤدي إلى تحسين خاصية او مجموعة من الخواص منها الحرارية او الكهربائية او المغناطيسية [4, 5].

ان علم السيراميك يتخصص بمجال اختيار المواد السيراميكية الاولية من اكاسيد وغير اكاسيد ومواد طينية اولية ونسبها الوزنية وخصائصها الفيزيائية والكميائية وكذلك طرائق تحضير مساحيقها من عمليات طحن ومزج واساليب معاملتها الحرارية لأغراض دراسة تأثير العوامل العديدة عليها من تقاعلات و تغيرات فيزيائية عند درجات الحرارة العالية و عمليات التلبيد والتزيج و إعادة تبلور ونمو حبيبي وما قد يصاب هذه العمليات من تشوهات ومشاكل قد تؤدي إلى تغير صفات هذه المواد ومن ثم دراسة الخصائص الفيزيائية للمنتجات النهائيه [7,6].

وجد الباحث العبيدي [8] عام (1997) اثناء دراسته لتأثير الشوائب في الصفات الفيزيائية والعزالية للكاولين العراقي، اذ حضر نماذج بعضها من الكاولين العراقي والآخر من الكاولين المضاف اليه احد الاكاسيد ( $MgO$  ,  $TiO_2$  ,  $SiO_2$  ,  $Al_2O_3$ ) وبنسب وزنية مختلفة وكبست تلك النماذج تحت قوة كبس 100KN وحرقت بدرجة حرارة  $1200^{\circ}C$  ولمدة 3hr فوجد عند دراسته للخواص الفيزيائية للنماذج المحروقة عند  $1200^{\circ}C$  انخفاض قيمة الكثافة الحجمية والنسبة وزيادة في المسامية الظاهرية ونقصان في التقلص الطولي عند اضافة الاكاسيد المذكورة اعلاه ، وارتفاع في قيمة الكثافة الحجمية والنسبة ونقصان في المسامية الظاهرية وزيادة في التقلص عند اضافة اوكيسيد التيتانيوم  $TiO_2$ .

عام (1999) درس الباحث Karunaratne [9] تأثير بعض الاضافات على خواص السيراميك المصنوع من الاطيان المعدنية ، اذ تم اضافة احد الاكاسيد ( $ZrO_2$  ,  $MgO$  ,  $MnO$ ) وبنسب وزنية مختلفة الى خليط المادة الاولية المستخدمة لإنتاج البورسلين للحصول على ربط عالي بين الدائقي، فوجد الباحث ان اضافة  $ZrO_2$  اعطت متانة ومقاومة عالية للجسم السيراميكي تفوق متانة الاجسام السيراميكية الحاوية على اضافات تقليدية بنسبة 30% .

عام (2005) قارنت الباحثة ميادة [10] بين اطيان الفلنت واطيان الكاولين العراقي ، توصلت الباحثة الى ان اطيان الفلنت هي الافضل حراريأ نتيجة لما امتلكته من ثبات حراري عالي ، نسبة مولایت ومقاومة كيميائية اعلى مقارنة مع الكاولين .

عام (2008) درست الباحثة انتصار [11] تأثير اضافة الزركونيا في بعض خصائص البوكسايت العراقي ، اذ تم استعمال البوكسايت العراقي الحاوي على 64.2% الومينا ثم اضيف الكاولين العراقي وسليلات الصوديوم كمواد رابطة لتشكيل النماذج ، واضيفت نسب مختلفة من الزركونيا الى الخليط، وشكلت العينات باتباع طريقة الكبس المحوري ثم حرقت بدرجتي حرارة  $1200^{\circ}C$  (1400) ، درست اهم الخصائص الفيزيائية ( الكثافة ، المسامية الظاهرية ، متانة الكسر المحوري ومقاومة الصدمة الحرارية). وقد حسنت الزركونيا المضافة الخصائص الميكانيكية للحراريات المحضره .

عام (2015) قامت الباحثة زينب [12] باضافة مادة الميتاكاولين ومادة رماد قصب السكر المحضر بطريقتين (محروق في الهواء ومحروق في فرن بدرجة حرارة  $800^{\circ}C$  لمدة ساعة واحدة) وخلط من الميتاكاولين ورماد قصب السكر المحروق في الهواء و الميتاكاولين ورماد قصب السكر المحروق في الفرن الى التربة الطينية من أجل تحسين خواصها، ومن ثم تم اجراء الفحوصات الفيزيائية والكميائية على النماذج المحضرة وبيت نتائج الفحص بأنه يمكن استخدام التربة المعالجة برماد قصب السكر كمواد تربة اساس ومواد تربة تحتية للطرق السريعة.

## **2. الجانب النظري : Theoretical Part**

### **2-1 الكاولين : Kaolin**

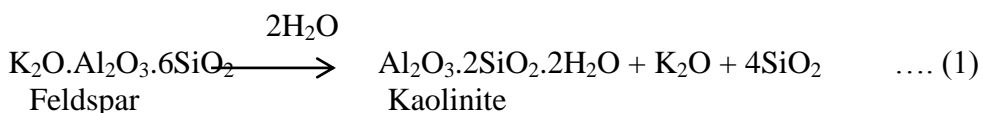
اسم الكاولين مشتق من اللغة الصينية (Kao-ling) ويعني المرتفع العالي وهو اسم تل يقع شمال الصين .

يعتبر الكاولين احد اهم الخامات الطينية وان معدنه الطيني هو الكاولينيت ( $Al_2O_3 \cdot 2SiO_2 \cdot 2H_2O$ )، ان المعدن الطيني يمثل الصورة النقية للكاولين ، اذ يتكون خام الكاولين من الكاولينيت والاکاسيد التي تساعد على الاصهر والتي تخفض من درجة حرارة التلبيد وهي ( $K_2O$  ,  $Fe_2O_3$  ,  $MgO$  ,  $CaO$  ,  $N_2O$  ,  $TiO_2$  , ..... [15,14,13]).

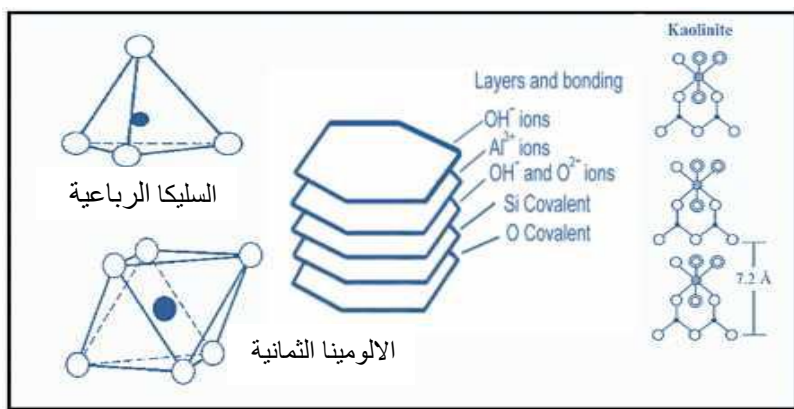
تنتج الاطيان بصورة عامة من تحلل الصخور البركانية النارية كصخور الكرانيت والتي تتكون من مجموعة خامات معدنية ويعد الفلسبار اضعف هذه الخامات عند تعرضه لعوامل التجوية ويتعرض الفلسبار البوتاسيومي ( $K_2O \cdot Al_2O_3 \cdot 6SiO_2$ ) الى

## مجلة جامعة كربلاء العلمية – المجلد السادس عشر- العدد الأول / علمي / 2018

الماء يذوب ( $K_2O$ ) وجزء من السليكا بمور الزمن ، ومع وجود تصريف جيد للماء يحصل تركيز للأكسيد غير المذابة والتي سوف تتحدد مع الماء لتكوين الكاولينيات ، كما توضح ذلك المعادلة التالية [16] :

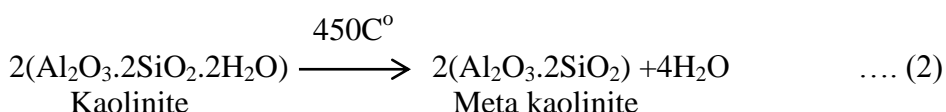


يتكون الكاولينيات من طبقات ، تتألف كل طبقة من صفيحتين [17] : الأولى صفيحة السليكا رباعية والتي تتكون من ذرتين سليكون ( $2Si$ ) مرتبطة بثلاث ذرات اوكسجين مكونة ( $Si_2O_3$ ) ، والثانية صفيحة الالومينا الثمانية والتي تتكون من اربع ذرات هيدروكسيد ( $OH$ ) مرتبطة بذرتي المنيوم ( $2Al$ ) ، وترتبط الطبقات بعضها البعض بقوى فيزيائية ضعيفة تتمثل بقوى فان در فالز والتي تظهر بين الدلائل القربيه والاواصر الهيدروجينية التي تربط مجموعات الاوكسيد المائي في صفيحة الالومينا مع ذرات الاوكسجين في صفيحة السليكا القربيه . ان ضعف ترابط طبقات الكاولينيات يجعل المعادن الطينية ذات طبقات قليلة السمك وعند اضافة الماء اليها تنزلق الصفائح بسهولة الواحدة على الاخرى مانحة الطين خاصية المرونة ليصبح كلة متمسكة سهلة التشكيل ، لذا يستخدم الكاولين في الكثير من الصناعات السيراميكية [18,13] والشكل (1) يوضح بنية وطبقات الكاولينيات .

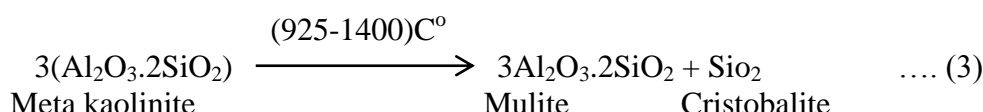


الشكل (1) بنية وطبقات الكاولينيات [18].

يفقد الكاولين الماء الشبكي (Lattice Water) عند حرقه بدرجات حرارة اعلى من  $150^{\circ}C$  وتحصل عدة تغيرات كيميائية وفيزيائية هي [13] : 1. يتحول الكاولين الى الميتاكاولين عند الحرق بدرجة حرارة  $450^{\circ}C$  ، محدثاً تهدم في الشبكة البلورية كما توضح المعادلة الآتية :



وبعد درجة الحرارية  $500^{\circ}C$  يحدث تقلص كبير في الكاولين بسبب تقارب التركيب البلوري نتيجة خروج ماء التبلور . 2. يتحول الميتاكاولين الى طور المولait عند الحرق بدرجة حرارة  $1400-925^{\circ}C$  ، يصاحب التحول تكون الكرستوبلايت (طور من اطوار السليكا) ، كما توضح المعادلة الآتية :



## 2-2 قصب السكر : Sugarcane

يعتبر قصب السكر كمصدر مهم لإنتاج السكر في المناطق الاستوائية و شبه الاستوائية حيث تتجمع مادة السكر في الساقان بنسبة (16-18)% و في بعض مناطق آسيا يستخرج من الساقان شراب يستعمل في الالوقات الحارة و في الفصول الجافة ، كما ان ساقان القصب تستخدم في بناء الجدران و السقوف و تستخدم كوقود في بعض المعامل مخلوطة مع النفط [19,20]. يمتاز قصب السكر بالمواصفات الآتية [12] :

1. من المواد الصديقة للبيئة .
2. زراعته قليلة الكلفة .
3. ذو صلابة عالية .
4. يستخرج منه الكثير من المنتجات منها (السكر ، الكحول، الورق) .
5. له استخدامات بيولوجية كثيرة و معالجة الكثير من الامراض .
6. يحتوي القصب على نسبة عالية من البوتاسيوم و نسبية جيدة من المغنيسيوم و الكالسيوم و الفسفور و الزنك و النحاس و الحديد و غيرها من المعادن .

اما مخلفات قصب السكر المحروقة Sugarcane Straw فإنها تعتبر من المواد الصناعية المهمة لما تحتويها من :

1. الكوارتز .
2. المولait .
3. سليكات الالومينا .

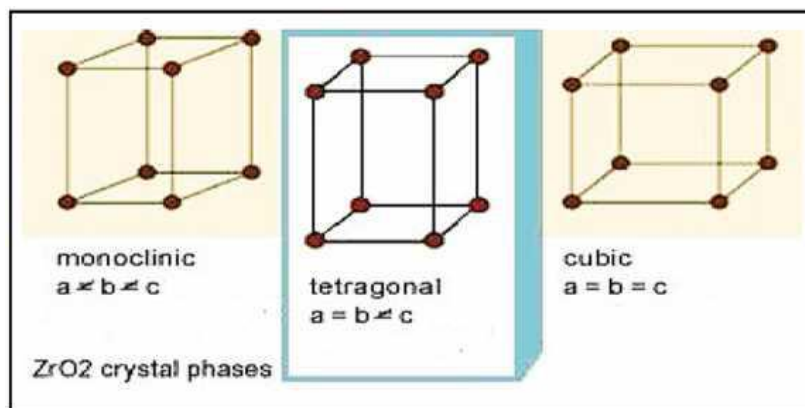
## 3-2 الزركونيا : Zirconia

اكتشفت الزركونيا ( $ZrO_2$ ) و هي ثاني اوكسيد الزركونيوم لأول مرة عام (1789م) من قبل العالم الكيميائي الالماني (M.H.Klaprth) ، تتواجد الزركونيا في الطبيعة بنسبة مختلفة وهي غير نقية اذ تصل نسبتها الى (96.5 - 98.5)% [14]. تمتاز الزركونيا بمجموعة خصائص جيدة كالمتانة العالية ، درجة الانصهار العالية ، قابلية البال المنخفضة وهي خاملة كيميائياً و ذات مقاومة كيميائية عالية لذا دخلت في العديد من الصناعات المتقدمة كصناعة الاسنان ، العظام الصناعية، التطبيقات البيولوجية وفي صناعة الحرارييات ، اذ تضاف الزركونيا الى بعض المواد لتحسين الخصائص الآتية [15,21] :

1. تقليل البال .
2. تحسين المتانة .
3. تحسين مقاومة الصدمة .
4. تحسين المقاومة الكيميائية للمنصهرات .
5. تحسين الخصائص الميكانيكية بشكل عام .
6. زيادة مقاومة البال .

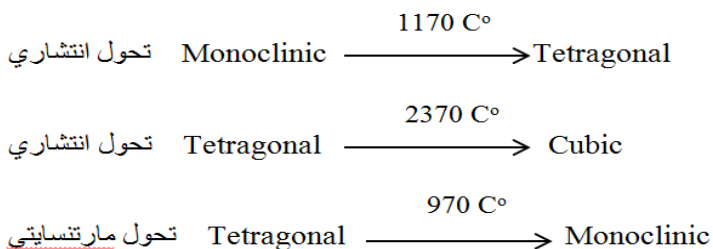
و تمتلك الزركونيا ثلاثة بنى بلورية هي [13] :

1. نظام احادي الميل (Monoclinic) مستقر عند درجة حرارة الغرفة .
  2. نظام رباعي قائم (Tetragonal) مستقر عند درجات الحرارة المتوسطة .
  3. المكعب (Cubic) مستقر عند درجات الحرارة العالية .
- والشكل (2) يوضح البنى البلورية للزركونيا .



الشكل (2) البنى البلورية للزركونيا [22] .

تتغير البنى البلورية من بنية لأخرى عند ارتفاع درجات الحرارة والضغط وتعود بتحول عكسي عند رفع الضغط وانخفاض درجات الحرارة ، فعند درجة حرارة الغرفة يكون النظام الاحادي الميل هو المستقر ويتحول الى نظام رباعي قائم عند درجة حرارة  $2370\text{ }^{\circ}\text{C}$ (1170) ثم يتحول الاخير الى المكعب عند درجة حرارة  $2680\text{ }^{\circ}\text{C}$ (2370) وتبقى بنية المكعب البلورية حتى يتم انصهار الزركونيا عند درجة حرارة  $14,13\text{ }^{\circ}\text{C}$  وكما يأتي [23] :



التحول المارتسايتى (Martensitic Transformation) هو تحول غير متوازن يحصل بآلية القص السريع دون حصول اي انتشار للذرات ولا يعتمد على الزمن ولا يرافقه تغير في الكثافة ويحصل بتغيير شكل الجزيئات نتيجة لتغير موقع الذرات ، ويحصل التحول العكسي عند درجة حرارة اقل نتائجه لطاقة الانفعال (Strain Energy) وتعمل هذه الظاهرة على زيادة متانة الزركونيا يرافقها زيادة في الحجم بنسبة 4% [14,13] .

#### 4-2 البولي فاينيل الكحول (PVA)

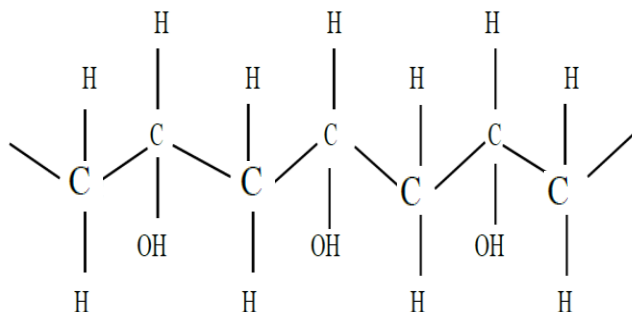
هو من البوليمرات الخطية غير المشحونة التي تستطيع الذوبان في الماء وتكون معقدات مع المعادن الطينية لامتلاكها عدد هائل من المجاميع القطبية (المجاميع الفعالة ) على امتداد سلسلتها التي تدخل في التفاعل مع السطح المعدن الطيني لتكوين طين معدل (Modified Clay) بعملية امتزاز المواد الطينية [24] .

عند تماست البوليمر مع المادة الممتزرة تميل الجزيئات الى الانهيار والانتشار على امتداد السطح ، لهذا فان البوليمرات غير المشحونة تعد ملائمة جداً لاستقرار بنية موجودة [25] .

يرتبط البوليمر بالسطوح الاساسية للمعادن الطينية من خلال سلسلة من الاواصر الهيدروجينية بين مجاميع الهيدروكسيد لبولي فاينيل الكحول وذرات الاوكسجين الاساسية لسطح المعدن الطينية .

يمتاز البولي فاينيل الكحول بان له القابلية على الذوبان في الماء ، حيث انه يذوب ببطء في الماء البارد ولكنه يذوب بسهولة وسرعة في درجات الحرارة العالية ، ويمتلك وزن جزيئي يتراوح بين (12000-18000)  $\text{g}/\text{sm}^3$  ودرجة انصهار  $230\text{ }^{\circ}\text{C}$ (1.19-1.31) وكتافته تتراوح بين (1.19-1.31)  $\text{g}/\text{sm}^3$  ولها قابلية استثنائية على الالتصاق بالمواد السيلوزية وله استخدامات واسعة فهو يدخل في صناعة الورق وفي الصناعات النسيجية وفي صناعة اغشية مقاومة للاوكسجين وفي طلاء الافلام الفوتوجرافية وله خواص كهربائية وبصرية معتمدة على نوع الشوائب المضافة [26] .

يحضر بولي فاينيل الكحول من خلات الفينيل لتكوين بولي خلات الفاينيل ثم يجري للبوليمر تحلل مائي لتكوين بولي فاينيل الكحول، اما صيغته الجزيئية فهي  $\text{CH}_2\text{CH(OH)}_n$  والشكل (3) يوضح الصيغة التركيبية لبولي فاينيل الكحول.

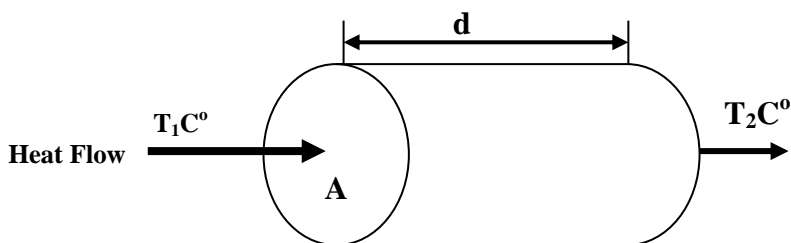


الشكل (3) الصيغة التركيبية لبولي فاينيل الكحول(PVA) [27].

## 5-2 التوصيلية الحرارية : Thermal Conductivity

التوصيلية الحرارية هي ظاهرة من ظواهر الانتقال الحراري وفيه يتم انتقال الطاقة من موقع الى آخر بسبب تهيج الجزيئات مصحوباً بتغير في درجة الحرارة ، تحدث التوصيلية الحرارية كلما اختلفت درجة حرارة المادة من موقع الى آخر ( يحدث بالاتجاه الذي تتناقص فيه درجة الحرارة ) وتخالف ميكانيكية التوصيلية الحرارية في المواد الصلبة عنها في السائلة وعنها في الغازات وكذلك تختلف في المواد الموصلة للحرارة عنها في المواد العازلة ففي المواد الموصلة ( الفلزات ) تكون الالكترونات هي المسؤولة عن انتقال الطاقة الحرارية ، اما في المواد العازلة ( السيراميك ) فان الحرارة تنتقل نتيجة تذبذب الجزيئات التي تنتقل هذه الذبذبة الى الجزيئات المجاورة لها نتيجة ارتباطها بالأواصر الايونية والتساهمية القوية وبذلك تنتقل الذبذبة من الطرف الاعلى حرارة الى الاقل بشكل موجات مرنة مكممة بالفونونات [28] .

لنفرض ان لدينا شريحة متوازية الوجهين من مادة ما وان سمك هذه الشريحة هو (d) ومساحة احد الوجهين هو (A) وان درجة حرارة الوجه الساخن ( $T_1$ ) اكبر من درجة حرارة الوجه الآخر ( $T_2$ ) وان هذه درجات ثابتة لا تتغير وكما موضح في الشكل (4) .



الشكل (4) انتقال الحرارة من الوجه الساخن الى الوجه البارد عمودياً على الوجهين [29].

في هذه الحالة تنتقل الحرارة بمعدل ثابت من الوجه الساخن الى الوجه البارد عمودياً على الوجهين وان كمية الحرارة (Q) التي تنتقل في زمن معين (t) تتناسب طردياً مع الزمن (t) و المساحة (A) وفرق درجات الحرارة ( $T_1-T_2$ ) وعكسياً مع السمك (d) ، وتعطى كمية الحرارة (Q) بالعلاقة الآتية [29] :

$$Q = KA \frac{T_1 - T_2}{d} t \quad \dots \quad (4)$$

حيث ان (K) ثابت يختلف باختلاف المادة ويسمى بالتوصيلية الحرارية او معامل التوصيل الحراري ويمكن تعريفه بأنه يمثل كمية الحرارة التي تنتقل بالتوصيل في التوصيل في الثانية الواحدة من ( $1m^2$ ) من احد وجهي شريحة متوازية سمكها ( $1m$ ) والفرق في درجة الحرارة بين وجهيهما ( $C^\circ$ ) في الحال الثابتة ووحدات K هي ( $W/m \cdot C^\circ$ ) ويسمى المقدار ( $\frac{T_1 - T_2}{d}$ ) بالانحدار الحراري (Temperature Gradient) ، تقاس التوصيلية الحرارية لمادة رئيسية التوصيل مثل المواد السيراميكية باستخدام طريقة قرص لي (Lee's Disk Method) وتكون عينة الاختبار على شكل قرص وبذلك تكون الطريقة الثانية هي الطريقة المعتمدة في قياس التوصيلية الحرارية لهذا البحث. اذ يتم حساب قيمة (K) من العلاقة الآتية [30] :

$$K\left(\frac{T_B - T_A}{ds}\right) = e \left[ T_A + \frac{2}{r} \left( d_A + \frac{1}{4} ds \right) T_A + \frac{1}{2r} ds T_B \right] \quad \dots \quad (5)$$

حيث ان (e) تمثل كمية الطاقة الحرارية المارة عبر وحدة مساحة مادة القرص لكل ثانية ووحداتها ( $W/m^2 \cdot C^\circ$ ) وتحسب من العلاقة الآتية [31] :

$$IV = \pi r^2 e (T_A + T_B) + 2\pi r e [d_A T_A + d_s \frac{1}{2} (T_A + T_B) + d_B T_B + d_C T_C] \quad \dots \quad (6)$$

حيث ان :

- ( $T_A, T_B, T_C$ ) هي درجة حرارة الاقراص (A,B,C) على التوالي ( $C^\circ$ )
- d سماك القرص (mm)
- ds سماك النموذج (mm)
- r نصف قطر القرص (mm)
- I التيار المار (Ampere)
- V الفولتية المجهزة (Volt)

**3. الجانب العملي : Experimental Part  
1.3 المواد المستخدمة : Materials Used  
أ. خام الكاولينين : Raw Kaolin**

ان الكاولين المستخدم في هذه الدراسة هو كاولين دويخلة المستخرج من مقعع دويخلة في الصحراء الغربية في محافظة الانبار وهو من انقى الاطيان وقد تم استخدامه كمادة اساس (Matrix) في تحضير النماذج السيراميكية ، والشكل (5) يوضح صورة خام الكاولينين ، اما التحليل الكيميائي للكاولين فقد تم في مختبرات هيئة المسح الجيولوجي العراقية من اجل معرفة نسب المكونات الرئيسية له ، والجدول (1) يوضح ذلك ، كما تم تحليل الاطوار لهذا الخام وذلك باستخدام تقنية حيود الاشعة السينية .



الشكل (5) خام الكاولينين العراقي

الجدول (1) نتائج التحليل الكيميائي للكاولين العراقي

| L.O.I | SO <sub>3</sub> | K <sub>2</sub> O | Na <sub>2</sub> O | MgO  | CaO  | TiO <sub>2</sub> | Fe <sub>2</sub> O <sub>3</sub> | Al <sub>2</sub> O <sub>3</sub> | SiO <sub>3</sub> | الاكاسيد |
|-------|-----------------|------------------|-------------------|------|------|------------------|--------------------------------|--------------------------------|------------------|----------|
| 11.84 | 0.02            | 0.41             | 0.31              | 0.07 | 0.37 | 1.43             | 1.13                           | 32.19                          | 52.24            | النسبة % |

**ب - مخلفات قصب السكر : Sugarcane Straw**

استخدمت مخلفات قصب السكر كمادة مضافة الى الكاولين وتم الحصول عليها من معمل السكر في محافظة ميسان الواقعة جنوب العراق والشكل (6) يوضح صورة مخلفات قصب السكر المستخدم في هذه الدراسة ، اما التحليل الكيميائي فقد اجري لها في مختبرات هيئة المسح الجيولوجي العراقية للتعرف على نسب المكونات الرئيسية لها والجدول (2) يوضح ذلك .



الشكل (6) مخلفات قصب السكر

الجدول (2) نتائج التحليل الكيميائي لمسحوق مخلفات قصب السكر

| P <sub>2</sub> O <sub>3</sub> | SO <sub>3</sub> | K <sub>2</sub> O | MgO  | CaO  | Fe <sub>2</sub> O <sub>3</sub> | Al <sub>2</sub> O <sub>3</sub> | SiO <sub>2</sub> | الاكاسيد |
|-------------------------------|-----------------|------------------|------|------|--------------------------------|--------------------------------|------------------|----------|
| 0.27                          | 0.02            | 1.85             | 0.71 | 5.46 | 0.93                           | 2.30                           | 14.48            | النسبة % |

**ج- الزركونيا : Zirconia**

استخدمت الزركونيا ب نوعها المايكروي او النانوي كمادة مضافة لتحسين الخصائص الحرارية للمنتج السيراميكى و هي :

**1. الزركونيا المايكروية : Micro Zirconia**

استخدمت الزركونيا المايكروية المصنعة من قبل شركة (Hannover) الالمانية بحجم دفائقي (45  $\mu\text{m}$ ) وبنقاوة (%) 99.9 لون المسحوق ابيض ناصع .

**2. الزركونيا النانوية : Nano Zirconia**

استخدمت الزركونيا النانوية المصنعة من قبل شركة (SIGMA) الصينية بحجم دفائقي بين (40-50)nm وبنقاوة (%) 99.9 لون المسحوق ابيض ناصع ، والشكل (7) يوضح المواد المضافة المستخدمة في العمل .



الشكل (7) الزركونيا المايكروية والنانوية المستخدمة في العمل

**د - المادة الرابطة : البولي فاينيل الكحول**

لقد تم تحضير البولي فاينيل الكحول المصنوع من قبل شركة (DIDACTIC) الاسيبانية على شكل محلول مائي بإذابة حبيبات (PVA) بالماء المقطر على جهاز الخلط المغناطيسي (Magnetic Stirrer) وبدرجة حرارة بين  $95^{\circ}\text{C}$  و  $85^{\circ}\text{C}$  اذ تعمل الكبسولات المغناطيسية على تحريك محلول بشكل مستمر لإذابة (PVA) بشكل كامل وللحصول على محلول متجانس كثافته  $(1.20 \text{ g/cm}^3)$  .

**هـ - المادة المزيطة :**

تم استخدام زيت البرافين المختبri لتزييت القوالب الفولاذية و تسهيل خروج العينات من القالب.

**2.3 : الاجهزه المستخدمة : Devices Used**

**أ. جهاز الضغط :** تم استخدام مكبس هيدروليكي نوع Carbolite بريطاني المنشأ و تم استخدام ضغط كبس مقداره 25 MPa و لمدة مقدارها (2 min).

**بـ . قالب فولاذى :** تم استخدام قالب فولاذى معامل حراريًّا لكي يتحمل الاحمال العالية التي تسلط لأغراض الكبس .

**جـ . فرن الحرق :** تم استخدام فرن كهربائي نوع (Humon Lab) الماني المنشأ مبرمج بالتيار تصل درجة الحرارة فيه الى  $1700^{\circ}\text{C}$  .

**د . ميزان حساس :** تم استخدام ميزان حساس الماني نوع (Sartorius) المنشأ و دقته (0.0001) غم في عملية الوزن .

**هـ . فرن التجفيف :** تم استخدام فرن التجفيف الكهربائي نوع (Taisite) صيني المنشأ تصل درجة الحرارة فيه الى  $300^{\circ}\text{C}$  .

**و . الخلط الكهربائي :** تم استخدام خلط كهربائي ياباني الصنع لغرض تجانس المواد و مزجها .

**ز. المناخل :** استخدمت نوعين من المناخل (Sieves) الاول بحجم (200 mesh) لتنقية حبيبات بحجم (75  $\mu\text{m}$ ) و الثاني بحجم (300 mesh) لتنقية حبيبات بحجم ( 53  $\mu\text{m}$  ) .

**ي . جهاز قياس التوصيلية الحرارية :** تم استخدام جهاز (قرص لي) في قياس التوصيلية الحرارية للنمذج .

**3.3 تحضير العينات : Samples Preparation :**

و قد تمت هذه المرحلة بثلاث خطوات هي :

**أ. تهيئة الخامات : Raw materials Preparation :**

تم استخدام المادة الاساس وهي الكاولين و اضافة مخلفات قصب السكر كمادة مدعمة و الزركونيا المايكروبية او النانوية كمادة مضافة لتحسين الخصائص للمترافق PVA كمادة رابطة و كما موضح في الجدول (3) .

الجدول (3) يوضح رموز الخلطات المستخدمة في العمل

| نوع المادة الرابطة | نوع الدقائق | النسبة الوزنية للمادة المضافة % | المادة المضافة | رمز الخلطة | النسبة المئوية للخلطة الرئيسية % | مكونات الخلطة الرئيسية        |
|--------------------|-------------|---------------------------------|----------------|------------|----------------------------------|-------------------------------|
| PVA                | —           | —                               | —              | A          | % 100                            | كاولين % 90<br>قصب السكر % 10 |
| PVA                | مايكروبيه   | % 5                             | زركونيا        | AZ1        | % 95                             | كاولين % 90<br>قصب السكر % 10 |
| PVA                | مايكروبيه   | % 10                            | زركونيا        | AZ2        | % 90                             |                               |
| PVA                | مايكروبيه   | % 15                            | زركونيا        | AZ3        | % 85                             |                               |
| PVA                | مايكروبيه   | % 20                            | زركونيا        | AZ4        | % 80                             |                               |
| PVA                | نانوية      | % 5                             | زركونيا        | AN1        | % 95                             | كاولين % 90<br>قصب السكر % 10 |
| PVA                | نانوية      | % 10                            | زركونيا        | AN2        | % 90                             |                               |
| PVA                | نانوية      | % 15                            | زركونيا        | AN3        | % 85                             |                               |
| PVA                | نانوية      | % 20                            | زركونيا        | AN4        | % 80                             |                               |

ملاحظة : (—) يعني عدم اضافة مادة للخلطة الرئيسية.

بعد ذلك تمت تهيئة الخلطات و وزنها بواسطة ميزان كهربائي حساس و هو من نوع (Sartorius) الماني المنشأ ذو حساسية (0.0001) غم حيث كان وزن كل خلطة (10) غم ، تم خلط كل خلطة على حده و باستعمال الخلط الكهربائي و لمدة ساعتين لكل خلطة و ذلك لضمان تغطية المادة المدعمة و المضافة مع حبيبات المادة الاساس للحصول على افضل تجانس ، و من ثم تضاف المادة الرابطة و هي بولي فاينيل الكحول (PVA) و بنسبة 2% لكل خلطة و يتم الخلط يدوياً بالمورتر و بعد ذلك يتم عمل ثلاثة نماذج لكل خلطة لغرض الحصول على ادق النتائج .

**ب . تشكيل العينات : Sample Forming :**

تم تشكيل العينات بطريقة الكبس شبه الجاف (Semi – dry Pressing) و قد استخدم المكبس الهيدروليكي نوع (Carbolite) بريطاني المنشأ و قالب بقطر mm (40) تحت ضغط كبس (25) Mpa و لمدة كبس مقدارها (2 min).

**ج . عملية التثبيد : Sintering Process :**

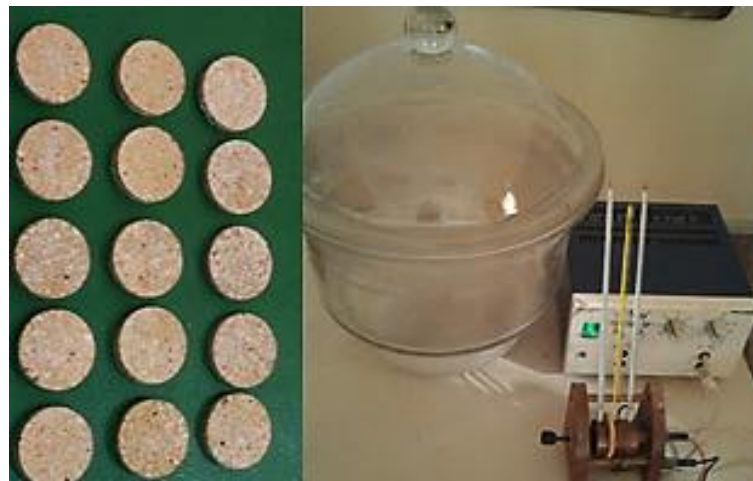
تمت عملية التثبيد باستخدام فرن كهربائي نوع (Humon Lab) و عند الضغط الجوي الاعتيادي و لمعدل ارتفاع مقداره ( 3 درجة حرارية / دقيقة) و قد تمت عملية الحرق بثلاثة درجات حرارة هي  $^{\circ}\text{C}$  (1000 , 1100 , 1200) و بقيت عند كل درجة حرارة لمدة ساعتين .

و قد تم اعتماد هذه الطريقة من اجل ضمان التخلص من المواد العضوية و المادة الرابطة و السماح للأبخرة و الغازات المترورة من جراء عملية الحرق بالخروج بصورة بطيئة مما ساعد على تقليل التشوّهات التي قد تحصل للعينات خلال عملية الحرق و بعد الانتهاء من عملية الحرق تم اطفاء الفرن و تركه الى اليوم التالي للوصول الى درجة حرارة الغرفة ، ثم تم اخراج العينات.

#### 4. اختبار التوصيلية الحرارية : Thermal Conductivity Test

تم قياس التوصيلية الحرارية باعتماد طريقة قرص لي (Disk Lee Method) والتي تناسب المواد العازلة حراريًّا للنماذج ذات السمك القليل نسبة إلى القطر ، يتكون الجهاز من مسخن وثلاثة أقراص من البراصل ترتب مع النموذج قيد الاختبار (S) .

عزل الجهاز عن المحيط الخارجي بواسطة حاوية زجاجية لضمان دقة النتائج ، يجهز المسخن بفولتينة فيمر التيار في الدائرة المغلقة ويحصل تسخين للأقراص بجانبي المسخن مباشرةً ثم تنتقل الحرارة إلى النموذج والقرص (A) عند الاتزان الحراري كما موضح في الشكل (8)، تسجل درجات الحرارة النهائية للأقراص الثلاثة (C , B , A) من خلال المحارير الموضوعة داخلها ، وبمعرفة أبعاد الأقراص (C , B , A) والنموذج (S) يحتسب معامل التوصيلية الحرارية (K) بتطبيق المعادلين (5) و (6) .



الشكل (8) قياس التوصيلية الحرارية .

و الجداول أدناه تبين نتائج هذا الاختبار للعينات المضاف إليها الزركونيا المايكروية مرة و العينات المضاف إليها الزركونيا النانوية مرة أخرى .

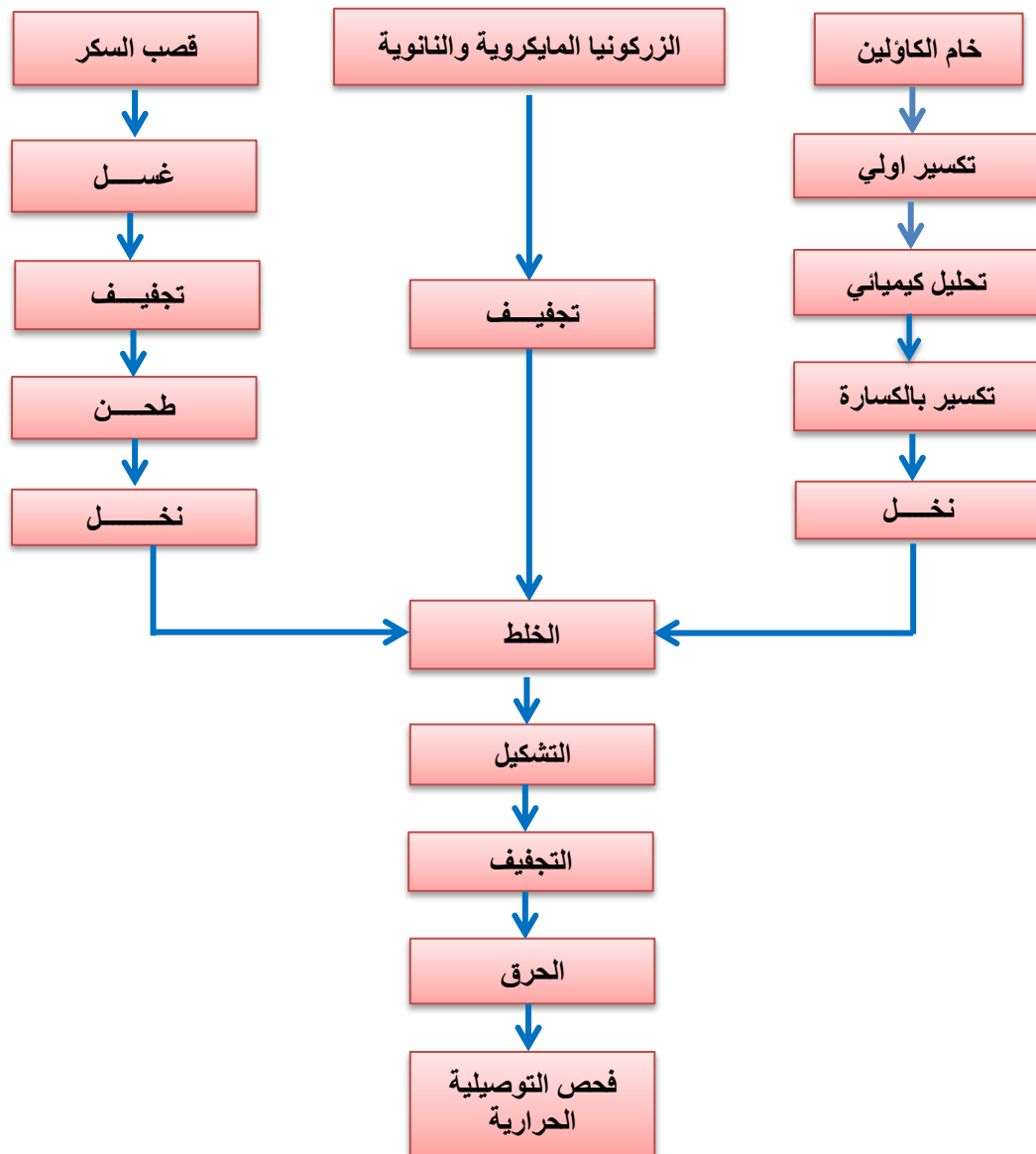
جدول (4) يبين نتائج اختبار التوصيلية الحرارية قبل و بعد اضافة الزركونيا المايكروية.

| رمز الخلطة | الوصيلية الحرارية عند درجة حرارة الحرق $1000\text{ C}^{\circ}$ | الوصيلية الحرارية عند درجة حرارة الحرق $1100\text{ C}^{\circ}$ | الوصيلية الحرارية عند درجة حرارة الحرق $1200\text{ C}^{\circ}$ |
|------------|--|--|--|
| A          | 0.412  | 0.576  | 0.754  |
| AZ1        | 0.390  | 0.538  | 0.701  |
| AZ2        | 0.367  | 0.486  | 0.643  |
| AZ3        | 0.314  | 0.445  | 0.612  |
| AZ4        | 0.253  | 0.396  | 0.553  |

جدول (5) يبين نتائج اختبار التوصيلية الحرارية قبل و بعد اضافة الزركونيا النانوية.

| رمز الخلطة | الوصيلية الحرارية عند درجة حرارة الحرق $1000\text{ C}^{\circ}$ | الوصيلية الحرارية عند درجة حرارة الحرق $1100\text{ C}^{\circ}$ | الوصيلية الحرارية عند درجة حرارة الحرق $1200\text{ C}^{\circ}$ |
|------------|--|--|--|
| A          | 0.412  | 0.576  | 0.754  |
| AN1        | 0.383  | 0.524  | 0.692  |
| AN2        | 0.342  | 0.478  | 0.643  |
| AN3        | 0.263  | 0.381  | 0.549  |
| AN4        | 0.210  | 0.307  | 0.473  |

و الشكل (9) يوضح مخطط الخطوات العملية الخاصة بالبحث :



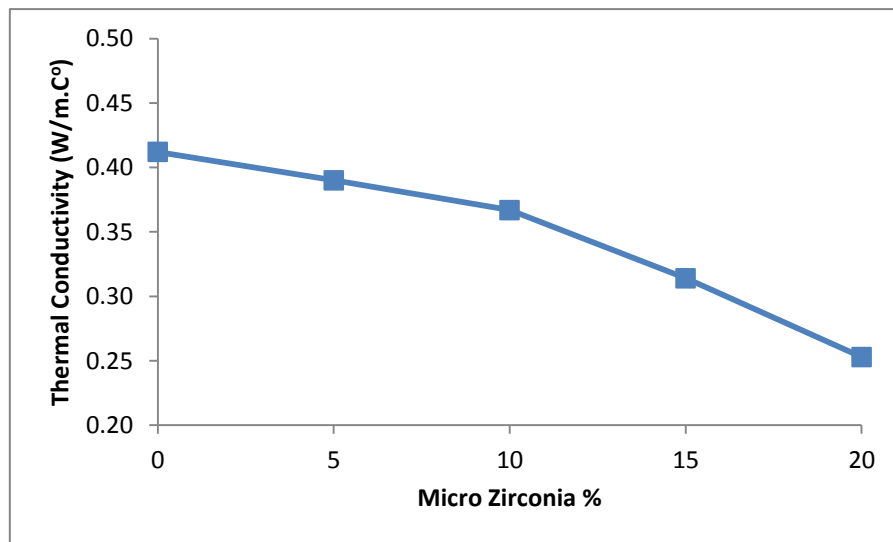
الشكل (9) مخطط الخطوات العملية

### 5. مناقشة النتائج : Discussion of Results

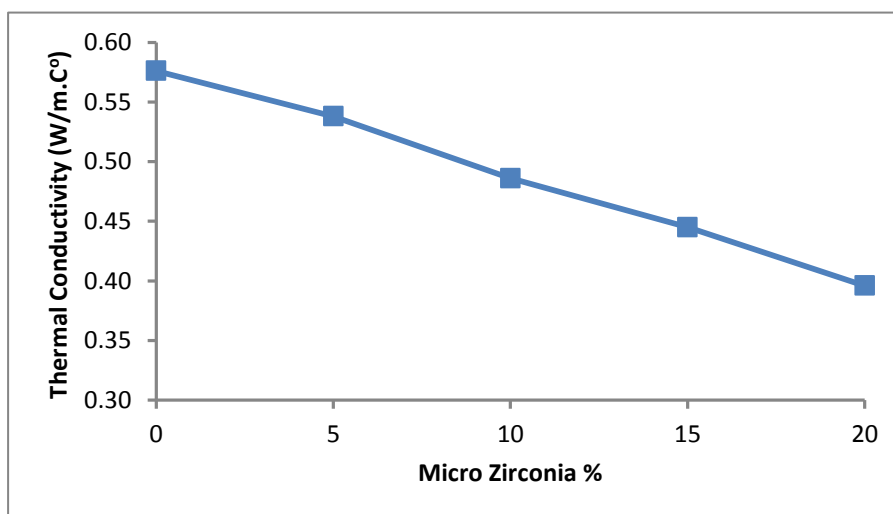
اجري اختبار (قرص لي) للنماذج المحضرة من الخلطة (A) بإضافة الزركونيا المايكروية والنانوية ، تم حساب التوصيلية الحرارية باعتماد العلاقة (5) ، وكما موضح في الاشكال (10، 11، 12، 13، 14، 15) الذي يوضح تأثير نسبة الزركونيا المايكروية والنانوية المضافة في التوصيلية الحرارية للنماذج المحضرة من الخلطة (A) عند درجات حرارة مختلفة . ان اضافة الزركونيا سواء اكانت مايكروية او نانوية تؤدي الى انخفاض التوصيلية الحرارية، وتستمر التوصيلية الحرارية بالانخفاض مع زيادة نسبة الاضافة [11].

ان النماذج المحضرة من الخلطة (A) هي عبارة عن مواد متراكبة تتكون من عدة اطوار : المولait ، الزركونيا المضافة ، الطور الزجاجي وطور المسامات ، وتحسب التوصيلية الحرارية لهذه النماذج وفقاً لقانون الخلط العام للمواد المتراكبة ، اي ان التوصيلية الحرارية المتخصصة للزركونيا تؤخذ بنظر الاعتبار مما يؤدي الى خفض التوصيلية الحرارية ، صغر حجم دقائق الزركونيا النانوية يؤدي الى انتشارها بسهولة بين الاطوار المختلفة لذا تعيق انتقال الحرارة وتسمى بخفض التوصيلية الحرارية كما ان الدقائق النانوية تعمل على زيادة نسبة المولait ذي التوصيلية الحرارية المنخفضة ونتيجة لتعدد الاطوار في النماذج المحضرة من الخلطة (AZ) والخلطة (AN) تلعب السطوح البنية دوراً مهماً في خفض التوصيلية الحرارية وهذا يتوقف مع ما توصلت له دراسات سابقة في مجال انتاج مواد سيراميكية مضافة اليها الزركونيا [31,29] وللأسباب المذكورة في الفقرة السابقة امتلكت النماذج المحضرة من الخلطة (AN) قيم توصيلية اقل من النماذج المحضرة من الخلطة (AZ). بينما يتضح من الشكلين (16) و (17) ان التوصيلية الحرارية تزداد بازيد درجات حرارة الحرق لأن التوصيلية الحرارية في المواد العازلة تحصل نتيجة لانتقال الحرارة من الطرف الساخن الى الطرف الاوتوسخونة عبر اهتزاز الشبيكة (الغونون) ويسمى

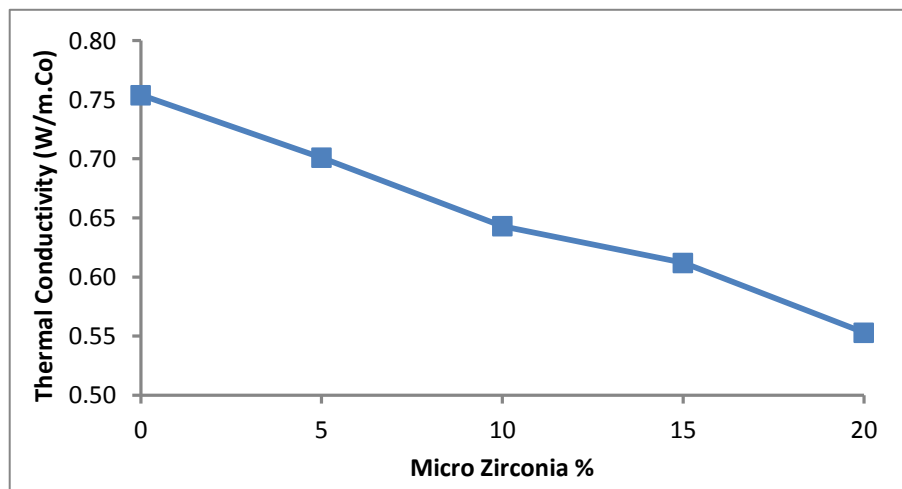
الفنون بالتروصيلية عند درجات الحرارة العالية ، وكلما كانت النماذج منتظمة الشكل وذات كثافة عالية ومسامية واطئة كلما امتلكت توصيلية حرارية أعلى [5] ، اي ان التوصيلية الحرارية في درجات الحرارة العالية تكون أعلى مما هي عليه في درجات الحرارة الاربطة .



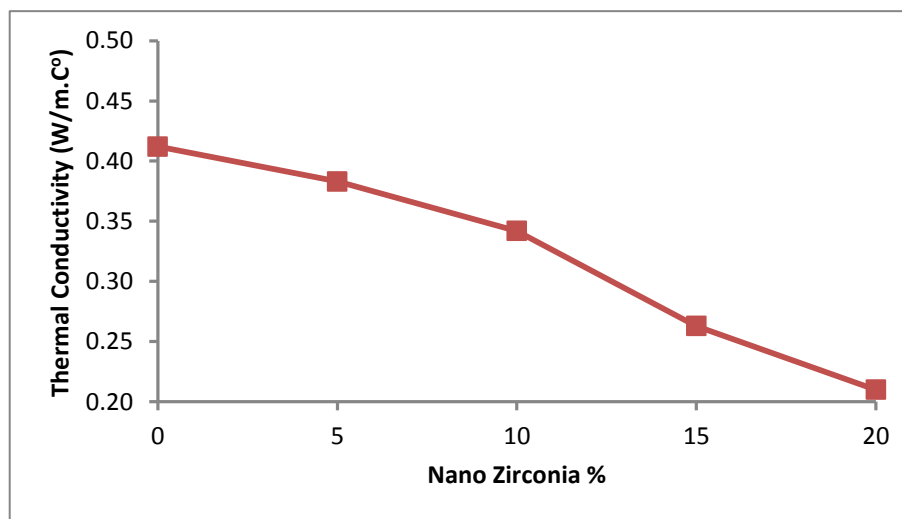
شكل (10) تغير التوصيلية الحرارية مع نسبة الزركونيا المايكروية المضافة للخلطة (A) عند درجة حرارة 1000C°



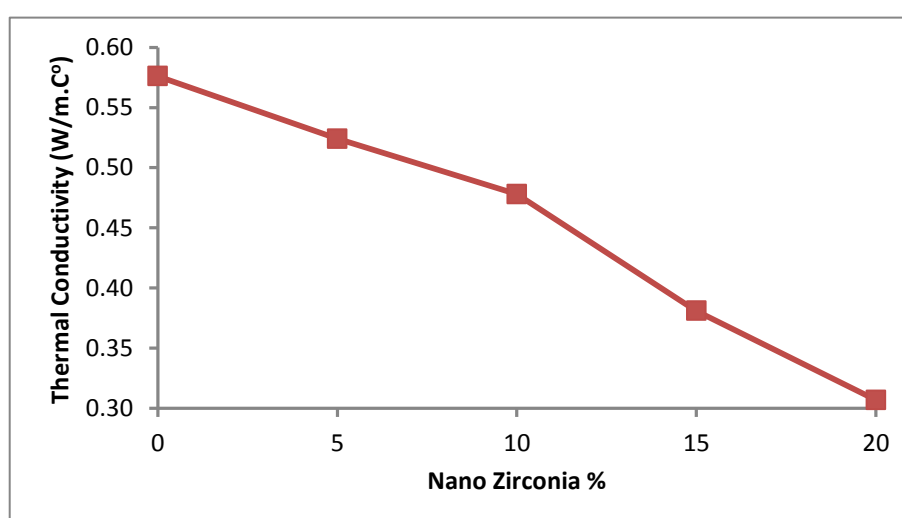
شكل (11) تغير التوصيلية الحرارية مع نسبة الزركونيا المايكروية المضافة للخلطة (A) عند درجة حرارة 1100C°



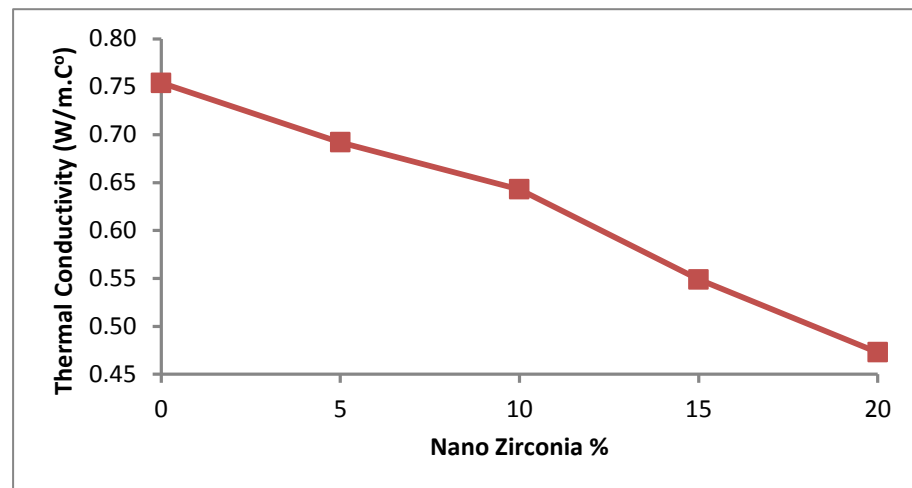
شكل (12) تغير التوصيلية الحرارية مع نسبة الزركونيا المايكروية المضافة للخلطة (A) عند درجة حرارة  $1200^{\circ}\text{C}$



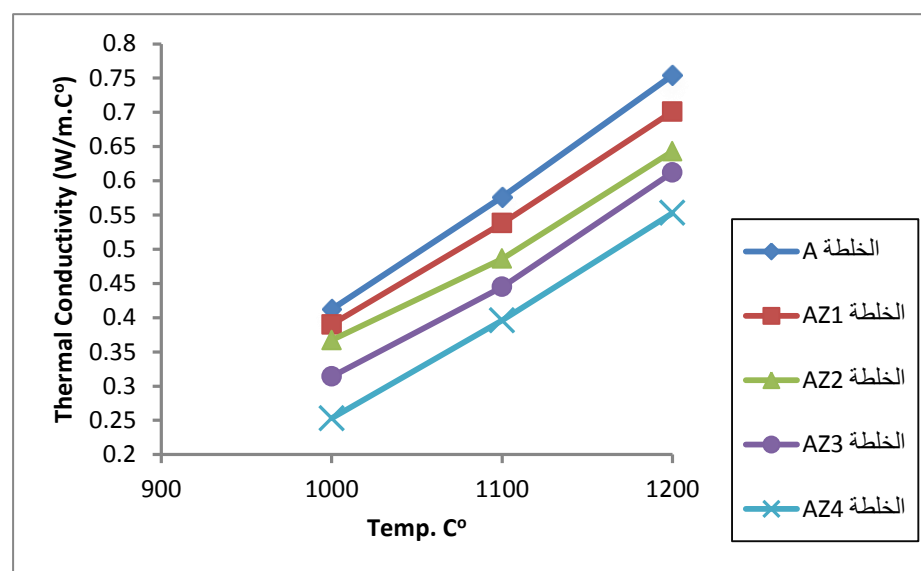
شكل (13) تغير التوصيلية الحرارية مع نسبة الزركونيا النانوية المضافة للخلطة (A) عند درجة حرارة  $1000^{\circ}\text{C}$



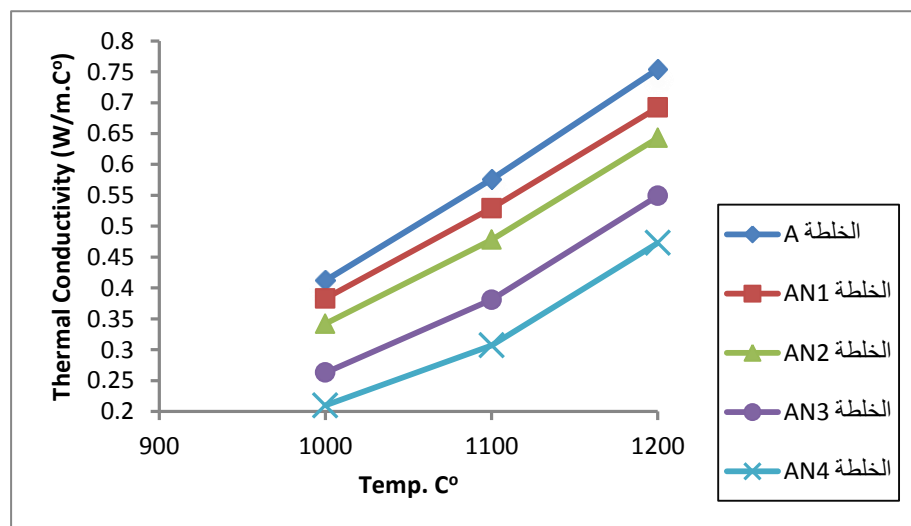
شكل (14) تغير التوصيلية الحرارية مع نسبة الزركونيا النانوية المضافة للخلطة (A) عند درجة حرارة  $1100^{\circ}\text{C}$



شكل (15) تغير التوصيلية الحرارية مع نسبة الزركونيا النانوية المضافة للخلطة (A) عند درجة حرارة 1200°C



الشكل (16) تغير التوصيلية الحرارية مع نسبة الزركونيا المايكروية المضافة للخلطة (A) وزيادة درجات الحرارة .



الشكل (17) تغير التوصيلية الحرارية مع نسبة الزركونيا النانوية المضافة للخلطة (A) وزيادة درجات الحرارة .

**5- الاستنتاجات : Conclusions**

من نتائج اجراء هذا البحث ، تم التوصل الى الاستنتاجات الآتية :

- أ. انخفاض قيم التوصيلية الحرارية للنماذج السيراميكية عند اضافة الزركونيا المايكروية بسبب التوصيلية الحرارية المنخفضة للزركونيا المايكروية .
- ب. يزداد انخفاض قيم التوصيلية الحرارية للنماذج السيراميكية مع زيادة نسبة الاضافة للزركونيا المايكروية.
- ج. انخفاض قيم التوصيلية الحرارية للنماذج السيراميكية بشكل اكبر عند اضافة الزركونيا النانوية بسبب التوصيلية الحرارية المنخفضة للزركونيا النانوية و صغر حجم دقائقها التي تعمل على زيادة طور المولايذ ذي التوصيلية الحرارية المنخفضة جدا .
- د. يزداد انخفاض قيم التوصيلية الحرارية للنماذج السيراميكية بشكل اكبر مع زيادة نسبة الاضافة للزركونيا النانوية .
- ه . زيادة درجة حرارة الحرق ادت الى زيادة قيم التوصيلية الحرارية لجميع النماذج السيراميكية لأنه بزيادة درجة الحرارة أصبحت النماذج ذات مسامية واطئة و كثافة عالية مما يؤدي الى اسهام الفونون بالتوصيلية الحرارية عند درجات الحرارية العالية .

**6- المصادر : References**

- [1] Georgy S. B. , Henry R. C. and John A. V. , "Materials Hand Book", 15<sup>th</sup> Ed., New York, 2002.
- [2] Nicholas M. G. , " Joining of Ceramics " , 1<sup>st</sup> Ed. , Hong Kong, 1990.
- [3] Meyers A. M. and Chawla K. K. , " Mechanical Behavior of Materials ", Prentice Hall, New Jersey, 1998.
- [4] Harper A. Ch., " Hand Book of Ceramics, Glasses and Diamonds ", Mc Graw-Hill Publidiem, 2002.
- [5] Kingery W. D. , Bowen H. K. and Uhlman D. R. , " Introduction to Ceramic " , 2<sup>nd</sup> Ed. , New York, p.(3, 210, 440, 593, 643, 770), 1975.
- [6] Worrall W. F. , " Clay and Ceramic Raw Materials ", Applied Science Publisher, 1<sup>st</sup> Ed. , London ,1975.
- [7] Michel and W. Barsoum, " Fundamentals of Ceramic ", Mc Grow- Hill Corp, 1997.
- [8] مجاهد محمد العبيدي ، " دراسة تأثير الشوائب على الصفات العزلية و الفيزيانية للكاوالين العراقي " ، رسالة ماجستير ، جامعة بغداد ، 1997 .
- [9] University of Preadegina. [www.Spi.ac.Uk/ipsr/abs.html](http://www.Spi.ac.Uk/ipsr/abs.html). 1999.
- [10] ميادة صبحي جودي ، مجلة الجيولوجيا و التعدين العراقية ، مجلد(1)، ص (37)، 2005 .
- [11] انتصار محمد البدراني ، " تأثير اضافة الزركونيا ( $ZrO_2$ ) في الخواص الميكانيكية و الحرارية للبوكسيت العراقي " ، رسالة ماجستير ، جامعة بغداد ، 2008 .
- [12] Al-Dabbagh Zainab,"Stabilization of Clayey Soil by Using Local Materials",Thesis, Baghdad, 2015.
- [13] Shackelford J. F. and Doremus R. H., " Ceramic and Glass Materials ", Springer New York, p.(27, 33, 111, 114), 2008.
- [14] Boch P. and Niepce J. C. , " Ceramic Materials ", ISTEI td, UK, p.(227, 361), 2007.
- [15] Laming J. , " The Refractories Journal " , Vol. 1, p.(6), 1971.
- [16] Bergaya F., Theng B. K. and Lagaly G., " Hand Book of Clay Science " , Vol. 1, Elsevier Ltd, p.(6, 20), 2006.
- [17] Tamar -Agha M. Y. , " Internal report Geosurvy " , Rep. No. (1899), Iraq, 1993.
- [18] Meunier A. , " Clay ", Springer, New York, p.(50, 56), 2005.
- [19] رادكا ديموفا ، ديكو ديكوف ، "المحاصيل الخلقية في المناطق الاستوائية و شبه الاستوائية " ، ترجمة د. خليل ابراهيم محمد علي ، جامعة بغداد ، ص(187-196) ، 1990 .
- [20] نادر فليح علي المبارك ، " استجابة قصب السكر و الاذغال المرافقة لمنظمات النمو النباتية و مبيدات الاذغال " ، اطروحة دكتوراه ، جامعة بغداد ، 2004 .
- [21] Cater C. B. and Norton M. G. , " Ceramic Materials Science and Engineering " , Springer, New York, p.(176, 333), 2007.
- [22] Alkhashab S. M. , " Preparation of (Zirconia-Spinel) ( $ZrO_2\text{-MgAl}_2O_4$ ) system and study its Physical and Biological Properties " , PhD, Baghdad, 2014.
- [23] Prusty S. , Mishra D. K. , Mohapatra B. K. and Singh S. K. , "Ceramic International " , Vol. 38, p.(2363), 2012.
- [24] Kotek J. and Klenar I., " Preparation and Application in Polymer –Clay Nano Composite" ,

## مجلة جامعة كريلاء العلمية – المجلد السادس عشر- العدد الأول / علمي / 2018

- p.(46, 4876, 4881), 2005.
- [25] Theng B. K. G. , " Formation and Properties of Clay-Polymer Complex" , Elsevier Scientific Publishing Company , Amsterdam, Oxford, New York, 1979.
- [26] Bilmeyer F. W. , " Text Book of Polymer Science " , 2<sup>nd</sup> Ed., Joihn Wiley and Sons, Inc., New York, 1971.
- [27] Reddyl V. N. , Rao K. S., Subha M. C. and Rae K. C., " Miscibility Behavior of Dextrin PVA Blends in Water at 35Co " , International Conference on Advances in Polymer Technology India, p.(356-368), 2010.
- [28] Hausen H. , "Heat Transfer Counter Flow, Parallel Flow and Cross Flow", Mc Graw-Hill Co., 1976.
- [29] ابراهيم شريف ابراهيم ، "الحرارة و خواص المادة و الصوت" ، منشورات دار الراتب للأبحاث الجامعية، بيروت ، لبنان ، 1983.
- [30] Antony Meb.,Collicu and Derek J., "The Mechanical and Thermal Properties of Materials", Great Britain, 1<sup>st</sup> Ed., 1973.
- [31] رأفت كامل واصف ، "اساسيات فيزياء الجوامد" ، دار النشر للجامعات ، جامعة القاهرة ص(20-24)، 2008